

Décroissance Libre

UNIVERSITÉ
DU SAOIR & MARY CURIE

118

thomas.gomez@upmc.fr

OAS

127

Décroissance Libre

- Hypothèse : THI
- Question : Quels paramètres fixent la décroissance de l'énergie cinétique?
- Hypothèses : **Décroissance algébrique**
- Paramètres :
- Nombre de Reynolds
- Conditions initiales
- Pente spectrale à grande échelle

$$\mathcal{K}(t) \propto t^{-n}$$

$$\mathcal{K}_\theta(t) \propto t^{-n_\theta}$$

UNIVERSITÉ
DU SAOIR & MARY CURIE

119

thomas.gomez@upmc.fr

OAS

128

Exposants de décroissance cinétique

Meldi & Sagaut

UNIVERSITÉ
DU SAOIR & MARY CURIE

120

thomas.gomez@upmc.fr

OAS

129

Expériences

Table 2. Grid turbulence experiment results reported in the open literature. The maximum values of the investigated Reynolds numbers Re_M and Re_λ , which are respectively based on the grid characteristic length M and on the Taylor microscale λ , are reported.

	Grid	Re_M	Re_λ	Wind Tunnel		U_0 (m s^{-1})
				tr. section ($\text{m} \times \text{m}$)	length (m)	
Comte-Bellot and Corrsin [4]	conventional	$3.4 \cdot 10^4$	72	1.3×1	12	10
Mohamed and La Rue [7]	biplane	$1.2 \cdot 10^4$	43	0.9×0.6	6.7	12
Makita [43]	active	$1.56 \cdot 10^4$	387	0.7×0.7	6	10
Kang et al. [44]	active	$1.21 \cdot 10^5$	720	1.2×0.9	10	11.4
Lavoie et al. [45]	conventional	$1.97 \cdot 10^4$	42	0.35×0.3	2.8	12.1
Hurst and Vassilicos [46]	fractal	500	0.9	0.9×0.9	4.8	12
Mazellier and Vassilicos [47]	fractal	370	0.46	0.46×0.46	5.4	15
Krogstad and Davidson [19]	multiscale	$2.4 \cdot 10^4$	90	2.7×1.8	12	9

Meldi & Sagaut 2012

UNIVERSITÉ
DU SAOIR & MARY CURIE

121

thomas.gomez@upmc.fr

OAS

130

Simulations numériques

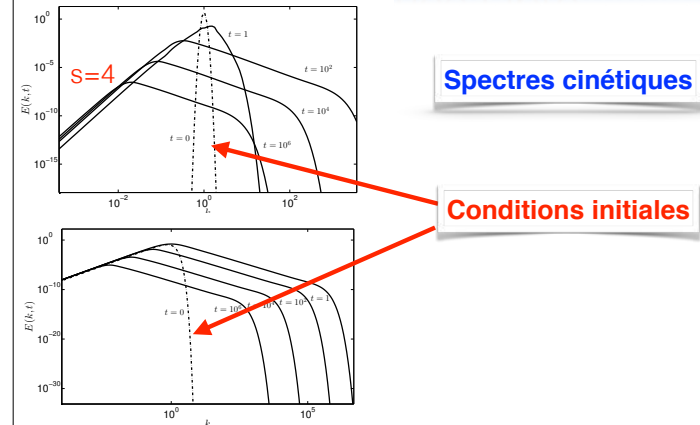
Table 3. Direct numerical simulation (DNS) results of the isotropic turbulence test case, recently published in the open literature.

	Nr. mesh elements	Re_λ	Case investigated
Ishida et al. [12]	1024^3	31 – 250	HIT free decay
Ishida et al. [48]	4096^3	1200	forced HIT
Yeung et al. [49]	4096^3	1000	forced HIT
Pirozzoli [50]	512^3	251	forced HIT
Schaefer et al. [51]	1024^3	50 – 116	HIT free decay
Spyksma et al. [52]	1024^3	218.1	forced HIT

Meldi & Sagaut 2012

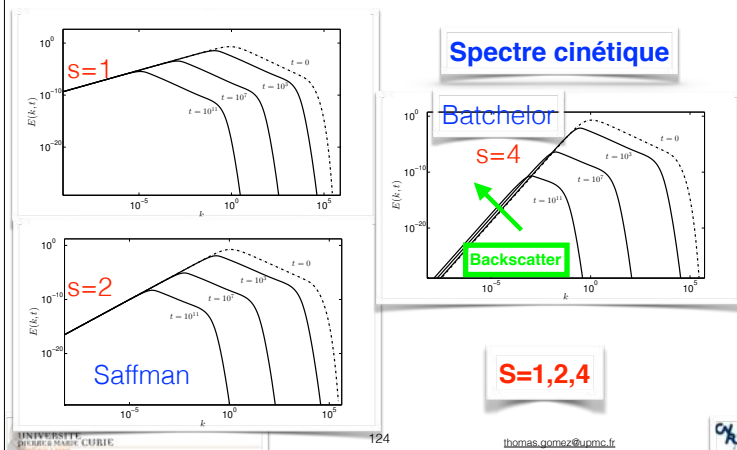
131

Décroissance Libre



132

Décroissance Libre



133

Décroissance Libre

✓ **Méthode** : Comte Bellot – Corrsin

✓ **Hypothèses** : **Forme du spectre** + **Décroissance algébrique**

$$E(k, t) = \begin{cases} Ak^s & kL(t) \leq 1, \quad 1 \leq s \leq 4 \\ K_0 \varepsilon^{2/3} k^{-5/3} & kL(t) \geq 1 \end{cases}$$

$$L(t) \propto (t - t_0)^{2/(3+s)}$$

$$\varepsilon(t) \propto (t - t_0)^{-3(s+5/3)/(3+s)}$$

134

Décroissance Libre

☑ **Méthode : Comte Bellot Corrsin**

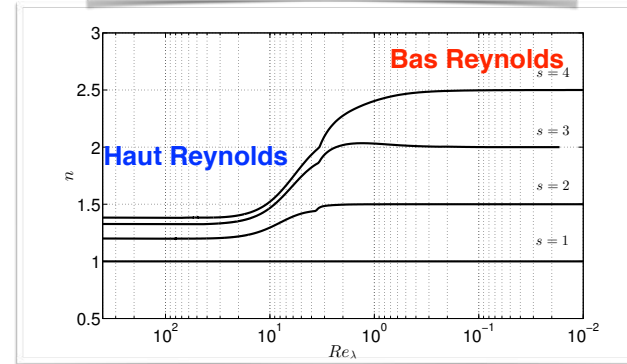
$$\varepsilon(t) = -\frac{d\mathcal{K}(t)}{dt} \implies \mathcal{K}(t) \propto t\varepsilon(t)$$

$$\mathcal{K}(t) \propto (t - t_0)^{-2(s+1)/(3+s)}$$

$$Re_t = \frac{L(t)\sqrt{\mathcal{K}(t)}}{\nu} \propto (t - t_0)^{(1-s)/(3+s)}$$

Décroissance Libre

Exposants de décroissance cinétique



Décroissance Libre

Exposants de décroissance cinétique Haut Reynolds

Saffman

Batchelor

	$s = 1$	$s = 2$	$s = 3$	$s = 4$	$s = +\infty$
$\mathcal{K}(t)$	$\propto t^{-1}$	$\propto t^{-6/5}$	$\propto t^{-4/3}$	$\propto t^{-10/7}$	$\propto t^{-2}$
$\varepsilon(t)$	$\propto t^{-2}$	$\propto t^{-11/5}$	$\propto t^{-7/3}$	$\propto t^{-17/7}$	$\propto t^{-3}$
$L(t)$	$\propto t^{1/2}$	$\propto t^{2/5}$	$\propto t^{1/3}$	$\propto t^{2/7}$	Cste
$Re_L(t)$	Cste	$\propto t^{-1/5}$	$\propto t^{-1/3}$	$\propto t^{-3/7}$	$\propto t^{-1}$

Pas physique!!!

Backscatter
à grande
échelle

Décroissance Libre

☑ **Comte Bellot Corrsin : Bas Reynolds**

$$\mathcal{K}(t) \sim \int_0^{1/L(t)} Ak^s dk$$

$$\mathcal{K}(t) \sim \int_0^{1/(\gamma\sqrt{\nu t})} Ak^s dk = \frac{A}{s+1} \left(\frac{1}{\gamma\sqrt{\nu}} \right)^{(s+1)/2} t^{-(s+1)/2}$$

$$\mathcal{K}(t) \propto t^{-(s+1)/2}, \quad \varepsilon(t) \propto t^{-(s+3)/2}, \quad L(t) \propto t^{(3-s)/4}, \quad Re_L(t) \propto t^{(1-s)/2}$$

Décroissance Libre

Exposants de décroissance cinétique
Bas Reynolds

	$s = 1$	$s = 2$	$s = 3$	$s = 4$
$K(t)$	$\propto t^{-1}$	$\propto t^{-3/2}$	$\propto t^{-2}$	$\propto t^{-5/2}$
$\varepsilon(t)$	$\propto t^{-2}$	$\propto t^{-5/2}$	$\propto t^{-3}$	$\propto t^{-7/2}$
$L(t)$	$\propto t^{1/2}$	$\propto t^{1/4}$	Cste	$\propto t^{-1/4}$
$Re_L(t)$	Cste	$\propto t^{-1/2}$	$\propto t^{-1}$	$\propto t^{-3/2}$

Décroissance Libre

✓ Hypothèse : THI => **Scalaire passif**

✓ Hypothèse : **Décroissance algébrique**

$$K(t) \propto t^{-n}$$

$$K_\theta(t) \propto t^{-n_\theta}$$

Décroissance Libre

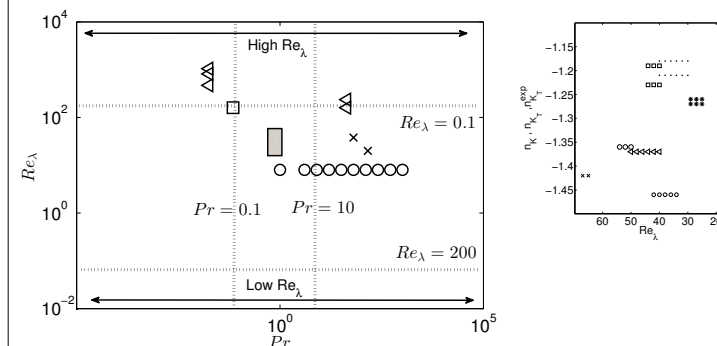
✓ Hypothèse : THI => **Scalaire passif**

✓ Hypothèse : **Décroissance algébrique**

Reference	Re	Predictions
Corrsin (1951)	High	$K \propto t^{-10/7}$ $K_T \propto t^{-6/7}$
Corrsin (1951)	Low	$K \propto t^{-5/2}$ $K_T \propto t^{-3/2}$
Nelkin & Kerr (1981)	High	$K \propto t^{-6/5}$ $K_T \propto t^{-6/5}$
Ristorcelli & Livescu (2004)	High	$K \propto t^{-1}$ $K_T \propto t^{-1}$

Décroissance du scalaire passif

Très peu de donnée...



Décroissance Libre

☑ Comte-Bellot Corrsin

☑ Hypothèses : Forme du spectre

$$E_{\theta}(k, t) = \begin{cases} A_T k^p & kL(t) \leq 1, \\ c_{\beta} \varepsilon^{-1/3} \varepsilon_{\theta} k^{-5/3} & kL(t) \geq 1 \end{cases} \quad 1 \leq s \leq 4$$

$$\varepsilon_{\theta} \propto (t - t_0)^{-(s+2p+5)/(3+s)}$$

$$\mathcal{K}_{\theta} \propto (t - t_0)^{-2(p+1)/(3+s)}$$

$$R_c = \frac{\mathcal{K}_{\theta} \varepsilon_{\theta}}{\varepsilon \mathcal{K}_{\theta}} = \frac{s+1}{p+1}$$

Décroissance Libre

Exposants de décroissance scalaire
Haut Reynolds

	p	s = 1	s = 2	s = 3	s = 4	s = +∞
$\mathcal{K}_{\theta}(t)$	1	$\propto t^{-1}$	$\propto t^{-4/5}$	$\propto t^{-2/3}$	$\propto t^{-4/7}$	Cste
	2	$\propto t^{-3/2}$	$\propto t^{-6/5}$	$\propto t^{-1}$	$\propto t^{-6/7}$	Cste
	4	$\propto t^{-5/2}$	$\propto t^{-2}$	$\propto t^{-5/3}$	$\propto t^{-10/7}$	Cste
$\varepsilon_{\theta}(t)$	1	$\propto t^{-2}$	$\propto t^{-9/5}$	$\propto t^{-5/3}$	$\propto t^{-11/7}$	$\propto t^{-1}$
	2	$\propto t^{-5/2}$	$\propto t^{-11/5}$	$\propto t^{-2}$	$\propto t^{-13/7}$	$\propto t^{-1}$
	4	$\propto t^{-7/2}$	$\propto t^{-3}$	$\propto t^{-8/3}$	$\propto t^{-17/7}$	$\propto t^{-1}$
R_c	1	= 1	= 3/2	= 2	= 5/2	$\sim \infty$
	2	= 2/3	= 1	= 4/3	= 5/3	$\sim \infty$
	4	= 2/5	= 3/5	= 4/5	= 1	$\sim \infty$

Décroissance Libre

Exposants de décroissance
cinétique et scalaire
Haut et Bas Reynolds

Reynolds	Cases	n_K, n_{K_T}	$n_{\varepsilon}, n_{\varepsilon_T}$	n_L, n_{L_T}	n_{Re_L}	$n_{Re_{\lambda}}$
High	Kinetic	$-2 \frac{s-p+1}{s-p+3}$	$-3 \frac{s-p+5/3}{s-p+3}$	$\frac{2}{s-p+3}$	$-\frac{s-p-1}{s-p+3}$	$-\frac{1}{2} \frac{s-p-1}{s-p+3}$
	Scalar	$-2 \frac{s'-p'+1}{s-p+3}$	$-\frac{s-p+5+2s'-2p'}{s-p+3}$	$\frac{2}{s-p+3}$		
Low	Kinetic	$-\frac{s+1}{2}$	$-\frac{s+3}{2}$	$\frac{1}{2}$	$-\frac{s-1}{4}$	$-\frac{s-1}{8}$
	Scalar	$-\frac{s'+1}{2}$	$-\frac{s'+3}{2}$	$\frac{1}{2}$		

Approche : Comte-Bellot Corrsin